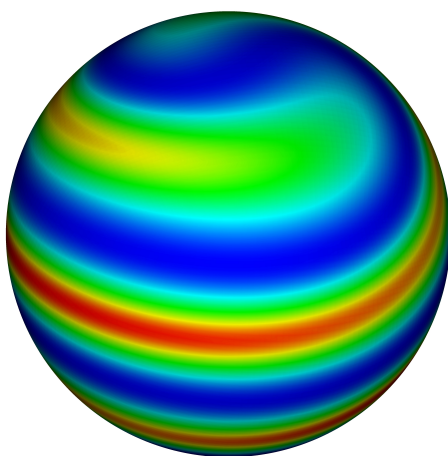

Titre

Sous-titre



Résumé :

Mots clefs : cailloux, galet de référence

Remerciements

Table des matières

Introduction	1
1 Première partie	2
1.1 Première sous partie	2
2 Quelques formules	2
2.1 discretisation	2
2.2 équation implicite	2
3 Modèles	3
3.1 Modèle 1	3
3.1.1 Description	3
3.1.2 Données initiales et constantes	3
3.1.3 Équations	3
Conclusion	3
A Première annexe	4

Introduction

1 Première partie

1.1 Première sous partie

2 Quelques formules

Remarque : $\frac{\partial F}{\partial x}$ sera noté $\partial_x F$

Équation de la chaleur avec terme de production :

$$\rho C_p \partial_t T = \text{div}(\lambda \vec{\text{grad}}(T)) + P \quad (2.1)$$

À 1d ça devient

$$\rho C_p \partial_t T = \partial_x(\lambda \partial_x T) + P \quad (2.2)$$

À 3D en symétrie sphérique ça devient :

$$\rho C_p \partial_{t'} T = \frac{1}{r'^2} \partial_{r'}(\lambda r'^2 \partial_{r'} T) + P \quad (2.3)$$

En unités adimensionnées 3D en symétrie sphérique ça devient :

$$r = r'/R_T \quad (2.4)$$

$$t = t' \frac{\lambda}{\rho C_p R_T^2} \quad (2.5)$$

$$p = \frac{P R_T^2}{\lambda} \quad (2.6)$$

$$\partial_t T = \frac{1}{r^2} \partial_r(r^2 \partial_r T) + p \quad (2.7)$$

2.1 discretisation

On note $T(t, r_i) : T_i^t$

$$\partial_t T \rightarrow \frac{T_r^{t+1} - T_r^t}{\Delta t} \quad (2.8)$$

$$\partial_r T \rightarrow \frac{T_{i+1/2}^t - T_{i-1/2}^t}{\Delta r} \quad (2.9)$$

$$\frac{1}{r^2} \partial_r(r^2 \partial_r T) \rightarrow \frac{1}{r_i^2 \Delta r} \left[r_{i+1/2}^2 \frac{T_{i+1}^t - T_i^t}{\Delta r} + r_{i-1/2}^2 \frac{T_{i-1}^t - T_i^t}{\Delta r} \right] \quad (2.10)$$

2.2 équation implicite

$$\begin{aligned} \frac{T_i^{t+1} - T_i^t}{\Delta t} &= \frac{1}{r_i^2 \Delta r} \left[r_{i+1/2}^2 \frac{T_{i+1}^{t+1} - T_i^{t+1}}{\Delta r} + r_{i-1/2}^2 \frac{T_{i-1}^{t+1} - T_i^{t+1}}{\Delta r} \right] + p_i^t \\ T_i^{t+1} - \frac{\Delta t}{r_i^2 \Delta r^2} \left[r_{i+1/2}^2 (T_{i+1}^{t+1} - T_i^{t+1}) + r_{i-1/2}^2 (T_{i-1}^{t+1} - T_i^{t+1}) \right] &= T_i^t + \Delta t p_i^t \end{aligned} \quad (2.11)$$

On a ainsi l'équation matricielle implicite suivante : $MT^{t+1} = T^t$

Où : $M = \left[Id + \frac{\Delta t}{r_i^2 \Delta r^2} \begin{matrix} r_{i+1/2}^2 & b1 \\ r_{i-1/2}^2 & b2 \end{matrix} \right]$

$$d1 = \begin{bmatrix} 2 & -1 & -1 & 0 & \dots & 0 \\ 0 & 1 & -1 & 0 & & \vdots \\ \vdots & \ddots & \ddots & \ddots & \ddots & \vdots \\ \vdots & & \ddots & \ddots & \ddots & 0 \\ \vdots & & & \ddots & 1 & -1 \\ 0 & \dots & \dots & \dots & 0 & 0 \end{bmatrix} \quad d2 = \begin{bmatrix} 0 & 0 & \dots & \dots & \dots & 0 \\ -1 & 1 & \ddots & & & \vdots \\ 0 & \ddots & \ddots & \ddots & & \vdots \\ \vdots & \ddots & \ddots & \ddots & \ddots & \vdots \\ \vdots & & 0 & -1 & 1 & 0 \\ 0 & \dots & 0 & -1 & -1 & 2 \end{bmatrix} \quad (2.12)$$

$\rho L \frac{\partial \phi}{\partial t} = \rho L \frac{d\phi}{dT} \frac{\partial T}{\partial t}$ avec ϕ qui est une marche, on peut l'approximer par une fonction un peu plus dérivable
 par ex : $\phi \simeq \arctan(T - T_{fusion})$
 $\rho C p_{eff} = \rho C p(\phi) + \rho L \frac{d\phi}{dT}$
 $R_T = at^b, T = T(t, r/R_T(t))$
 $\Rightarrow \frac{\partial T(t, r/R_T(t))}{\partial t} = \frac{\partial T}{\partial t} + \frac{\partial \frac{r}{R_T(t)}}{\partial t} \frac{\partial T}{\partial r} = \frac{\partial T}{\partial t} + \frac{\partial \frac{r}{R_T(t)}}{\partial t} \frac{\partial T}{\partial r}$

3 Modèles

Note pour tous les modèles suivants on supposera que la Terre est composée d'un mélange homogène de $\phi = 18\%$ de métal et 82% de silicates. Et que les propriétés de ces matériaux ne changent pas avec la température ou le changement d'état.

Les constantes respectives et moyennes du mélange sont les suivantes :

Grandeur	moyenne	metal	silicate	unité
Densité (ρ)	4028	7800	3200	kg m^{-3}
Capacité calorifique (C_p)	1065	450	1200	$\text{J K}^{-1} \text{kg}^{-1}$
Conductivité	11.48	50	3	$\text{W K}^{-1} \text{m}^{-1}$
Chaleur latente de fusion		250	500	kJ kg^{-1}
Température de fusion		1261	1408	K

3.1 Modèle 1

Fichier : sim1.py

3.1.1 Description

On fait une première simulation la plus simple possible. Hypothèses :

1. Rayon de la Terre constant
2. Chauffage causé par la désintégration du ^{26}Al et par le rayonnement de corps noir.

3.1.2 Données initiales et constantes

Rayon de la Terre	500 km
Température initiale	300 K
Température de la nébuleuse	300 K
Demi-vie du ^{26}Al	0.74 My

3.1.3 Équations

On considère les variables adimensionnées suivantes :

$$t = \frac{t'}{\tau_{1/2}^{Al}}, \quad r = \frac{r'}{\pi} \sqrt{\frac{\rho C_p}{k_T \tau_{1/2}}} \quad \text{et} \quad T = \frac{T'}{T_0} \quad (3.1)$$

Il en résulte les équations suivantes

$$\frac{\rho C_p T_0}{\tau_{1/2}} \partial_t T = \frac{T_0}{?} \frac{1}{r'^2} \partial_{r'} (\lambda r'^2 \partial_{r'} T) + P + S + Q_L \quad (3.2)$$

$$P = \rho H_0 e^{-\ln(2)t} \quad (3.3)$$

$$S = 4\pi R^2 \sigma (T_{neb}^4 - (T T_0)^4) \quad \text{à la surface uniquement} \quad (3.4)$$

Conclusion

A Première annexe